

L'usage de calculatrices est interdit.

Cahier Réponses

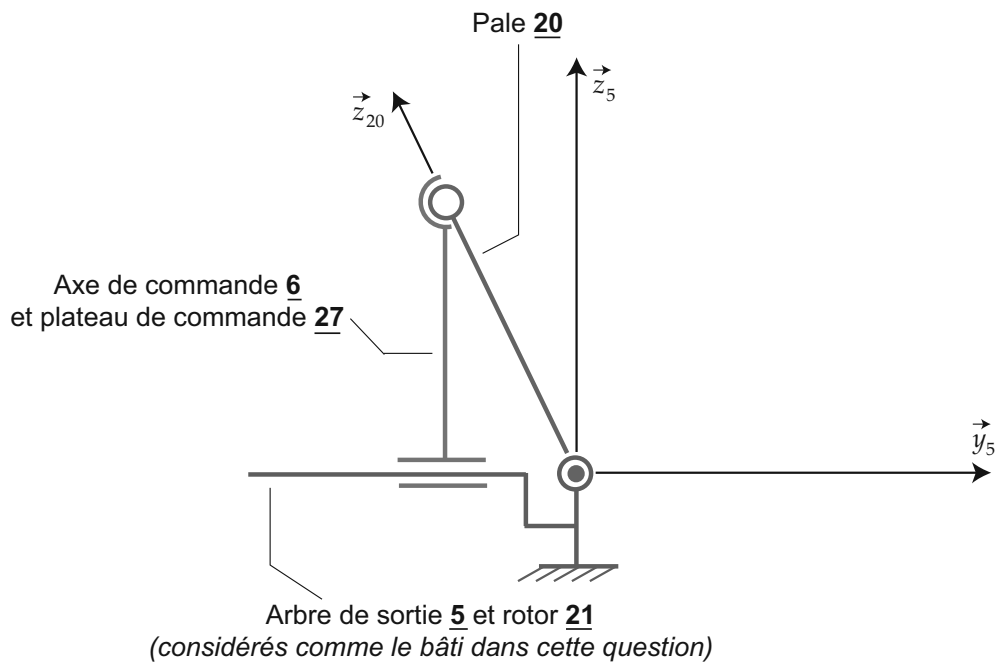
Épreuve de Sciences Industrielles B

Tournez la page S.V.P



R1

Schéma cinématique partiel: placer les points D et O ainsi que les dimensions α , α_0 , e et y .

**R2**

Relation entre y , α_0 et α .

R3

Course du levier de commande: $c =$

Application numérique : $c =$

Conclusion:

R4

Commentaire sur le modèle de liaisons en A et B

R5

Forme des torseurs des actions mécaniques:

$$\{T_{aéro}\} = \begin{Bmatrix} \dots & \dots \\ \dots & \dots \\ \dots & \dots \end{Bmatrix} (P, \vec{x}_5, \vec{y}_5, \vec{z}_5)$$

$$\{T_A\} = \begin{Bmatrix} \dots & \dots \\ \dots & \dots \\ \dots & \dots \end{Bmatrix} (A, \vec{x}_5, \vec{y}_5, \vec{z}_5)$$

$$\{T_B\} = \begin{Bmatrix} \dots & \dots \\ \dots & \dots \\ \dots & \dots \end{Bmatrix} (B, \vec{x}_5, \vec{y}_5, \vec{z}_5)$$

$$\{T_{29 \rightarrow 20}\} = \begin{Bmatrix} \dots & \dots \\ \dots & \dots \\ \dots & \dots \end{Bmatrix} (C, \vec{x}_5, \vec{y}_5, \vec{z}_5)$$

$$\{T_{27 \rightarrow 20}\} = \begin{Bmatrix} \dots & \dots \\ \dots & \dots \\ \dots & \dots \end{Bmatrix} (D, \vec{x}_5, \vec{y}_5, \vec{z}_5)$$

R6

Torseur cinématique en G de la pâle par rapport au bâti :

$$\left\{ V_{pale/bâti} \right\} = \left\{ \dots \dots \dots \dots \dots \right\}_{(G, \vec{x}_5, \vec{y}_5, \vec{z}_5)}$$

R7

Justifier la forme de l'opérateur d'inertie: $I_{pale}(G)$

R8

Résultante cinétique : $\vec{P}_{20/1} = \vec{x}_5 + \vec{y}_5 + \vec{z}_5$

Moment cinétique : $\vec{\sigma}_{20/1}(G) = \vec{x}_{20} + \vec{y}_{20} + \vec{z}_{20}$

$$\text{Torseur cinétique : } \left\{ C_{20/1} \right\} = \left\{ \dots \dots \dots \dots \dots \right\}_{(G, \vec{x}_5, \vec{y}_5, \vec{z}_5)}$$

R9

Résultante dynamique : $\vec{d}_{20/1} = \vec{x}_5 + \vec{y}_5 + \vec{z}_5$

R10

Application numérique : force $F_C \approx$

R11

Moment dynamique

$$\vec{\delta}_{20/1}(G) = \vec{x}_5 + \vec{y}_5 + \vec{z}_5$$

Conditions pour que $\vec{\delta}_{20/1}(G) = 0$:

R12

Théorème de la résultante dynamique appliqué à la pale:

Sur \vec{x}_5 :

Sur \vec{y}_5 :

Sur \vec{z}_5 :

R13

Théorème du moment dynamique appliqué à la pale en G :

Sur \vec{x}_5 :

Sur \vec{y}_5 :

Sur \vec{z}_5 :

R14

Composantes de $\{T_{29 \rightarrow 20}\}$ essentielles au fonctionnement du rotor:

$$\{T_{29 \rightarrow 20}\} = \begin{Bmatrix} \dots & \dots \\ \dots & \dots \\ \dots & \dots \end{Bmatrix}_{(C, \vec{x}_5, \vec{y}_5, \vec{z}_5)}$$

R15

Torseur d'action mécanique dans la liaison A :

$$\{T_A\} = \begin{Bmatrix} \dots & \dots & \dots \\ \dots & \dots & \dots \\ \dots & \dots & \dots \end{Bmatrix}_{(A, \vec{x}_5, \vec{y}_5, \vec{z}_5)}$$

Torseur d'action mécanique dans la liaison B :

$$\{T_B\} = \begin{Bmatrix} \dots & \dots & \dots \\ \dots & \dots & \dots \\ \dots & \dots & \dots \end{Bmatrix}_{(B, \vec{x}_5, \vec{y}_5, \vec{z}_5)}$$

Torseur d'action mécanique dans la liaison pale/faisceau:

$$\{T_{29 \rightarrow 20}\} = \begin{Bmatrix} \dots & \dots & \dots \\ \dots & \dots & \dots \\ \dots & \dots & \dots \end{Bmatrix}_{(C, \vec{x}_5, \vec{y}_5, \vec{z}_5)}$$

R16

Type de sollicitations subies par le faisceau:

R17

Théorème(s) utilisé(s):

R18

Forme (composantes non nulles) du torseur de cohésion :

$$\left\{ \mathbf{T}_{coh1}(x) \right\} = \begin{Bmatrix} & \\ & \\ & \end{Bmatrix} (H(x), \vec{x}_5, \vec{y}_5, \vec{z}_5)$$

Type(s) de sollicitation(s) vue(s) par la poutre :

R19

Contrainte normale dans la poutre:

$$\sigma =$$

R20

Critère de résistance élastique de la poutre:

R21

Application numérique:

$$R_e \geq$$

R22

Moment quadratique polaire:

$$I_f =$$

R23

Forme (composantes non nulles) du torseur de cohésion :

$$\left\{ \mathbf{T}_{coh2}(x) \right\} = \begin{Bmatrix} & \\ & \\ & \end{Bmatrix} (H(x), \vec{x}_5, \vec{y}_5, \vec{z}_5)$$

R24

Relation entre le moment $\vec{M}(x)$ du torseur de cohésion $\left\{T_{coh_2}(x)\right\}$ et l'angle de rotation de la section $\gamma(x)$:

R25

Expression du moment maximal M_{max} en fonction de G_{eq} , I_f , α_0 , α_{min} et α_{max} :

R26

Expression de la contrainte de cisaillement maximale τ_{max} dans la poutre/faisceau :

R27

Application numérique :

$$\tau_{max} =$$

R28

Théorème du moment statique sur \vec{z}_0 appliqué à l'arbre d'entrée de la BTA :

Relation entre C_e , F_T et R_p :

R29

Relation entre F_R , F_T , ϕ et δ .

R30 Relation entre F_A , F_T , δ et ϕ .

R31 Application numérique : valeurs algébriques approchées

$$F_T =$$

$$F_R =$$

$$F_A =$$

R32 Roulement E, application numérique :

Effort radial $F_R^E =$

Effort axial $F_z^E =$

Charge équivalente $P^E =$

R33 Expression de la durée de vie du roulement E en millions de tours :

Application numérique approchée en années de fonctionnement :

Commentaire :

R34 Influence d'une précharge axiale du montage de roulements sur la durée de vie :

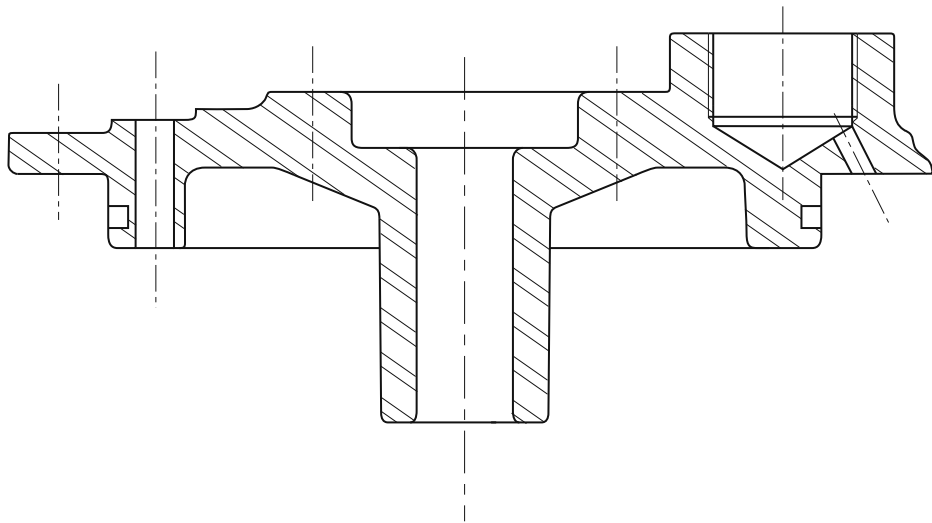
R35 Signification de EN AC-AISI12 :

Possibilité d'utilisation :

Proposition d'autre matériau (désignation normalisée et signification) :

R36

Dessin de définition du couvercle 3 :
Surépaisseurs d'usinage
Plan de joint



R37

Dessin de définition du couvercle 3 :
Tolérance de planéité
Tolérance de perpendicularité

